

Planification d'itinéraires pour véhicules électriques

Considération du temps d'attente et regroupement de bornes

Jaël Champagne Gareau

Séminaire INF889B
Département d'informatique
Université du Québec à Montréal

5 février 2020

Plan de la présentation

- 1 Mise en contexte et Motivation
- 2 Formalisme
- 3 Techniques existantes
 - Energy A*
 - Contraction hiérarchique de graphes
- 4 Contributions et résultats
 - Considération du temps d'attente
 - Regroupement de bornes
- 5 Algorithme complet

Pourquoi des véhicules électriques ?



Moins de GES



Moins bruyant

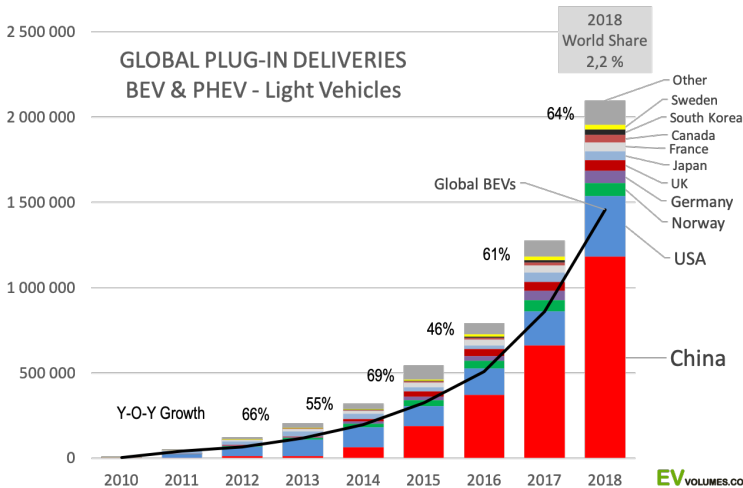


Plus économique à long terme



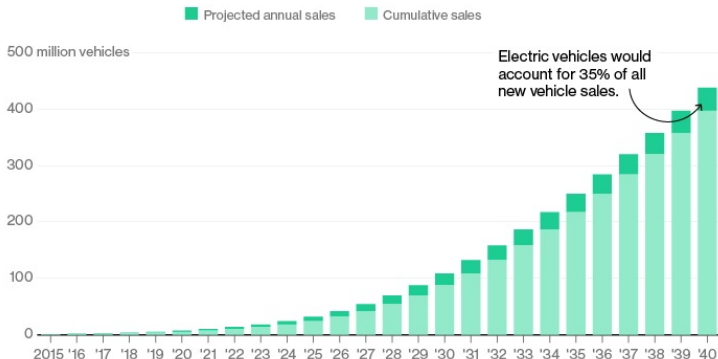
Moins d'entretien

Marché mondial des VÉ 2010–2018¹



1. <http://www.ev-volumes.com/country/total-world-plug-in-vehicle-volumes>

Prédiction de l'évolution des ventes de VÉ²



Sources: Data compiled by Bloomberg New Energy Finance, Marklines



2. Bloomberg, 25 février 2016, <https://www.bloomberg.com/features/2016-ev-oil-crisis/>

Comparaison entre un véhicule conventionnel et un VÉ



| | Honda Civic | Nissan Leaf |
|--|-------------|-------------|
| Prix (C\$) ³ | 17 890 \$ | 42 298 \$ |
| Autonomie | 750 km | 363 km |
| Temps de recharge | 3 min | 30 min |
| Stations service / Bornes de recharge ⁴ | 2924 | 225 |

3. Modèle 2019, excluant les subventions gouvernementales

4. Au Québec en 2019

Problématique

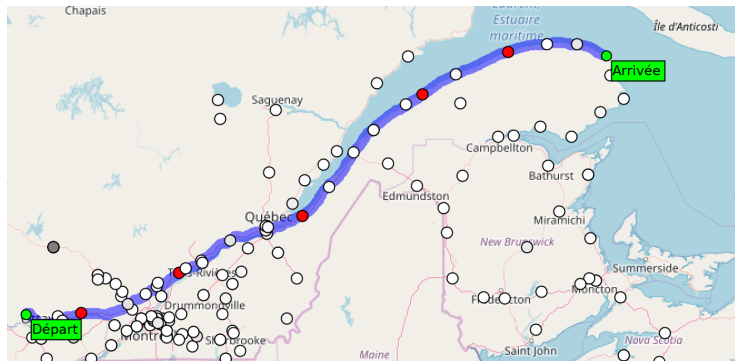
- Le nombre de bornes rapide pour VÉ croit moins vite que le nombre de VÉ.
- L'attente risque d'augmenter.
- Certaines régions sont mal desservies.
- Les longs trajets nécessitent une ou plusieurs recharges.

Objectif

Avoir un planificateur d'itinéraires pour VÉ qui :

- 1 tient compte des caractéristiques propres aux VÉ ;
- 2 considère les recharges à des bornes en milieu de trajet ;
- 3 considère le temps d'attente à chaque borne ;
- 4 minimise le temps de calcul.

Exemple visuel de la problématique



Formalisme – Problème

Réseau routier

Un réseau routier est représenté par un graphe orienté valué (V, E, λ) et par un ensemble S où :

- V est l'ensemble des positions considérées sur la carte ;
- E est l'ensemble des segments de routes ;
- $\lambda: E \rightarrow \mathbb{R}^+$ donne la longueur des arcs (ex : en km) ;
- S est l'ensemble des bornes de recharges (on suppose $S \subseteq V$).

Formalisme – Problème

Réseau routier

Un réseau routier est représenté par un graphe orienté valué (V, E, λ) et par un ensemble S où :

- V est l'ensemble des positions considérées sur la carte ;
- E est l'ensemble des segments de routes ;
- $\lambda: E \rightarrow \mathbb{R}^+$ donne la longueur des arcs (ex : en km) ;
- S est l'ensemble des bornes de recharges (on suppose $S \subseteq V$).

Planification pour VÉ

Un problème de planification pour VÉ (PPVÉ) est défini par le tuple $(M, \rho, \alpha, \omega)$ où :

- M est le réseau routier ;
- $\rho \in \mathbb{R}^+$ est l'autonomie du VÉ (en km) ;
- $\alpha, \omega \in V$ sont les nœuds de départ et d'arrivée.

Formalisme – Solution

Solution

Une **solution** à un PPVÉ $(M, \rho, \alpha, \omega)$ est un tuple (P, Q) , où

- $P \subseteq V$ est la suite de nœuds à traverser dans la solution ;
- $Q \subseteq P$ contient les bornes où charger (et α, ω) ;
- $\forall i, d(Q_i, Q_{i+1}) \leq \rho$, où d est la distance dans le graphe.

Formalisme – Solution

Solution

Une **solution** à un PPVÉ $(M, \rho, \alpha, \omega)$ est un tuple (P, Q) , où

- $P \subseteq V$ est la suite de nœuds à traverser dans la solution ;
- $Q \subseteq P$ contient les bornes où charger (et α, ω) ;
- $\forall i, d(Q_i, Q_{i+1}) \leq \rho$, où d est la distance dans le graphe.

Solution optimale

Une **solution optimale** est une solution (P, Q) qui minimise

$$Z(P, Q) = DT(P) + CT(Q) + WT(Q),$$

où DT, CT et WT donnent le temps espéré de déplacement, de charge et d'attente.

Planificateur de base

Algorithme

Pour trouver le chemin le plus rapide de α à ω :

- Une matrice des distances entre chaque paire de bornes est précalculée ;
- La distance de α jusqu'à chaque borne, et de chaque borne jusqu'à ω est calculée (algorithme de Dijkstra 2 fois) ;
- Un graphe complet (V', E') est construit, où $V' = S \cup \{\alpha, \omega\}$.
- Les arcs plus longs que ρ sont retirés du graphe ;
- L'algorithme de A* de α à ω est lancé sur le nouveau graphe.

La complexité asymptotique temporelle totale est $\mathcal{O}(|V| \log |V| + |E|)$.



Éléments à considérer

- Recharge à des bornes en milieu de trajet

Éléments à considérer

- Recharge à des bornes en milieu de trajet
- Récupération d'énergie par le véhicule (topographie, freinage, etc.)

Éléments à considérer

- Recharge à des bornes en milieu de trajet
- Récupération d'énergie par le véhicule (topographie, freinage, etc.)
- Calcul rapide de l'itinéraire

Éléments à considérer

- Recharge à des bornes en milieu de trajet
- Récupération d'énergie par le véhicule (topographie, freinage, etc.)
- Calcul rapide de l'itinéraire
- Minimisation du temps d'attente

Energy A*

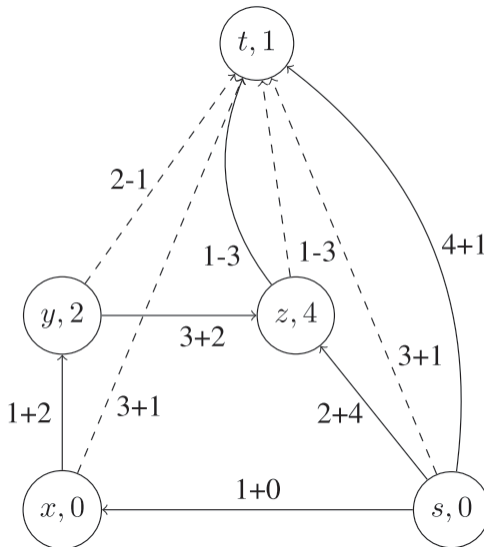
- Recharge à des bornes en milieu de trajet
- **Récupération d'énergie par le véhicule (topographie, freinage, etc.)**⁵
- Calcul rapide de l'itinéraire
- Minimisation du temps d'attente

5. Sachenbacher, M., M. Leucker, A. Artmeier, et J. Haselmayr (2011). Efficient Energy-Optimal Routing for Electric Vehicles. In Proceedings of the AAAI, pp. 1402–1407. AAAI Press.

Energy A* — Idée

- Considérer le poids des arêtes comme étant $c = c_L + c_P$;
- $C_L(e) = E_L(\ell(e), s(e))$, est la perte d'énergie d'ue à l'environnement ;
- $C_P(a, b) = \pi(b) - \pi(a)$ est la différence d'énergie potentielle ;
- $\ell(e)$ est la longueur de l'arête ;
- $s(e)$ est la limite de vitesse du segment de route ;
- Il peut y avoir des arêtes négatives ;
- Pas de cycle négatif.

Energy A* — Illustration



Energy A* — Algorithme

- Utiliser l'algorithme de Johnson pour réétiqueter les arêtes ;
- Utiliser A* pour trouver le chemin optimal ;
- L'heuristique est donnée par $E_L(\|(a, b)\|, s_{\min})$;

Contraction de graphes

- Recharge à des bornes en milieu de trajet
- Récupération d'énergie par le véhicule (topographie, freinage, etc.)
- **Calcul rapide de l'itinéraire**⁶
- Minimisation du temps d'attente

6. Geisberger, R., Sanders, P., Schultes, D., Vetter, C. : Exact Routing in Large Road Networks Using Contraction Hierarchies. *Transportation Science* 46(3), 388–404 (2012)

Contraction de graphes — Idée

- Dans un graphe routier, la majorité des arêtes sont des routes secondaires ;
- La majeure partie de chaque trajet se fait sur des autoroutes ;
- On voudrait créer des **raccourcis** dans le graphe en ajoutant des arêtes.

Contraction de graphes — Construction des contractions

Définition

Soit un noeud N ayant des arêtes entrantes partant des noeuds $\{u_1, u_2, \dots, u_k\}$ et ayant des arêtes sortantes allant aux noeuds $\{v_1, v_2, \dots, v_p\}$. La **contraction** du noeud N se fait en :

- retirant N et ses arêtes incidentes ;
- ajoutant une arête entre chaque u_i et v_j tels que $\langle u_i, N, v_j \rangle$ est un plus court chemin de u_i à v_j .

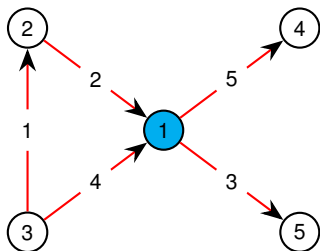
Contraction de graphes — Construction des contractions

Définition

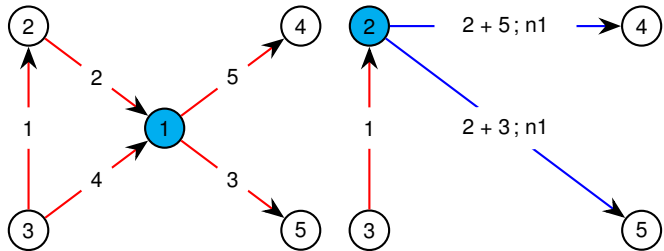
Soit un noeud N ayant des arêtes entrantes partant des noeuds $\{u_1, u_2, \dots, u_k\}$ et ayant des arêtes sortantes allant aux noeuds $\{v_1, v_2, \dots, v_p\}$. La **contraction** du noeud N se fait en :

- retirant N et ses arêtes incidentes ;
 - ajoutant une arête entre chaque u_i et v_j tels que $\langle u_i, N, v_j \rangle$ est un plus court chemin de u_i à v_j .
-
- Soit $S = \{s_1, s_2, \dots, s_n\}$ un ordonnancement des noeuds du graphe ;
 - On contracte les noeuds un par un dans cet ordre ;
 - G^* est le graphe qui contient tous les noeuds et les arêtes initiales, ainsi que les raccourcis ajoutés par les contractions.

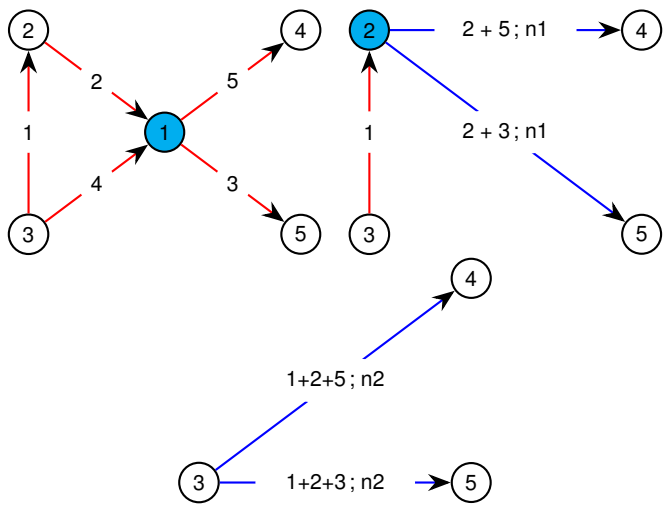
Contraction de graphes — Exemple 1/2



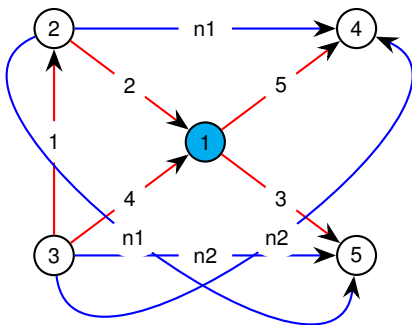
Contraction de graphes — Exemple 1/2



Contraction de graphes — Exemple 1/2



Contraction de graphes — Exemple 2/2



Contraction de graphes — Requête de s à t

- $G^*_{\uparrow} = (S, \{(u, v) \in E : v > u\})$
- $G^*_{\downarrow} = (S, \{(u, v) \in E : v < u\})$
- Faire un Dijkstra dans G^*_{\uparrow} à partir de s
- Faire un Dijkstra inversé dans G^*_{\downarrow} à partir de t
- Soit X l'ensemble des noeuds visités par les deux Dijkstras
- $d(s, t) = \min_{v \in X} (d(s, v) + d(v, t))$

Temps d'attente

- Recharge à des bornes en milieu de trajet
- Récupération d'énergie par le véhicule (topographie, freinage, etc.)
- Calcul rapide de l'itinéraire
- **Minimisation du temps d'attente**

Temps d'attente — Motivation

- Sans considération de l'occupation, on obtient (Départ, Borne1, Arrivée)
- $E[\text{temps d'attente B1}] = 0.8 * 15 = 12 \text{ min}$
- $E[\text{temps d'attente B2}] = 0.1 * 15 = 1.5 \text{ min}$
- On attend en moyenne $12 - 1.5 = 10.5 \text{ min}$ de plus à B1

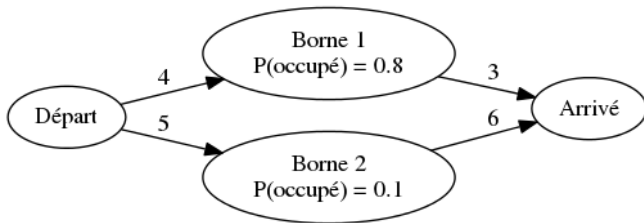


FIGURE – Problème lorsqu'on ne considère pas l'occupation des bornes

Temps d'attente — Technique 1

- Utilisation des données historiques de chaque borne b .
- Réétiquetage du graphe pour considérer ces données.

Données d'occupation à priori

Pour chaque borne b , la probabilité dynamique d'occupation est donnée par :

$$f_b: \{\text{Lundi}, \dots, \text{Dimanche}\} \times \{0..23\} \rightarrow [0, 1]$$

$$(d, h) \mapsto \mathbb{P}(b \text{ est occupée} \mid \text{Jour} = d \wedge \text{Heure} = h).$$

et le temps d'attente espéré lorsqu'occupée est donné par :

$$g_b: \{\text{Lundi}, \dots, \text{Dimanche}\} \times \{0..23\} \rightarrow \mathbb{R}^+$$

Réétiquetage dynamique

Étiquetage considérant le temps d'attente

Soit $e = (u, v) \in E$. On définit l'étiquetage dynamique comme étant

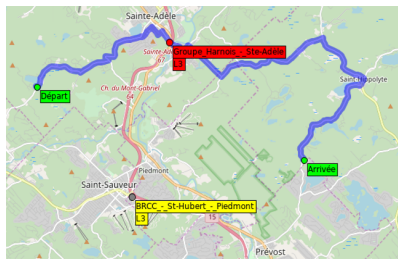
$$\xi: E \times \{\text{Lundi}, \dots, \text{Dimanche}\} \times \{0..23\} \rightarrow \mathbb{R}^+$$

$$\xi(e, d, h) = \begin{cases} \lambda(e) & \text{si } u \notin S \\ \lambda(e) + f_u(d, h) \cdot g_u(d, h) \cdot \mu(e) & \text{si } u \in S \end{cases}$$

- Le poids des arcs dépend maintenant du temps d'arrivée ;
- on doit donc modifier l'algorithme de recherche de chemins (ex : Dijkstra/A*)⁷.

7. Daniel Delling and Dorothea Wagner. 2009. Time-dependent route planning. In Lecture Notes in Computer Science, Vol. 5868 LNCS. 207–230. https://doi.org/10.1007/978-3-642-05465-5_8

Temps d'attente — Effet sur les plans obtenus



Chemin retourné par le planificateur lundi midi vs mardi midi

Défauts de la technique précédente

- Elle n'utilise que des données connues à priori ;
- Le temps d'attente réel peut être bien pire que prévu ;
- Nous supposons qu'on a accès au temps d'attente en temps réel lorsqu'on conduit ;
- On peut alors réduire le temps de calcul en précalculant des plans alternatifs.

Deux cas extrêmes

- 1 Pas de chemins alternatifs ;
- 2 Une politique totale $\pi : \text{État} \rightarrow \text{Action}$ (ex : obtenue avec un MDP)

Nous voulons un compromis entre ces deux cas.

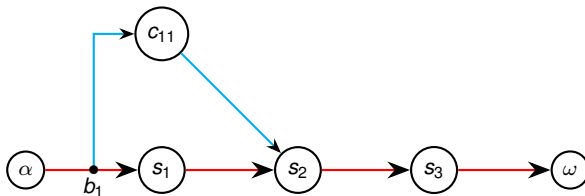
Temps d'attente — Technique 2

Générer un chemin alternatif pour chaque borne sur le chemin initial.



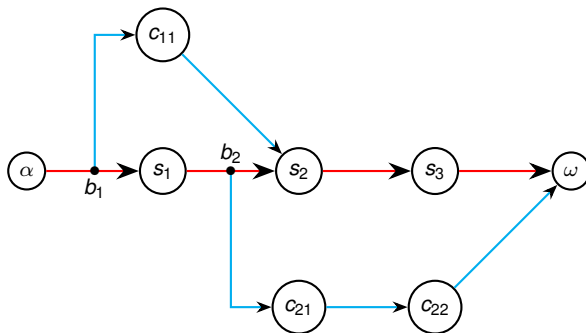
Temps d'attente — Technique 2

Générer un chemin alternatif pour chaque borne sur le chemin initial.



Temps d'attente — Technique 2

Générer un chemin alternatif pour chaque borne sur le chemin initial.



Temps d'attente — Technique 2

Algorithme 1 Génération de chemins alternatifs

- 1: chemin de base \leftarrow planificateur de base (incluant technique 1)
 - 2: **pour toute** $s_i \in Q$ **faire**
 - 3: supposer temporairement que $f_{s_i} \equiv 1$ ▷ Simule que s_i est occupée
 - 4: nouveau chemin \leftarrow planificateur de base (incluant technique 1)
 - 5: **si** nouveau chemin = ancien chemin **alors**
 - 6: **continue** ▷ Pas d'alternative pour cette borne
 - 7: $b_i \leftarrow$ dernier nœud en commun du préfixe des deux chemins
 - 8: mettre le nouveau chemin comme alternative sur le nœud b_i
-

L'algorithme nous retourne la politique partielle

$$\pi: V \rightarrow V^2$$

$$\pi(x) = \begin{cases} (s_{i+1}, -) & \text{if } x = s_i \wedge \nexists b_{i+1} \\ (b_i, -) & \text{if } x = s_i \wedge \exists b_{i+1} \\ (s_i, c_{i1}) & \text{if } x = b_i \\ (c_{i,j+1}, -) & \text{if } x = c_{ij}, \end{cases}$$

Utilisation de la politique

Algorithme 2 Exécution du plan

```

1: procédure EXECUTER_PLAN( $\pi$ )
2:    $n \leftarrow \alpha$ 
3:   tant que  $n \neq \omega$  faire
4:      $(x, y) \leftarrow \pi(n)$ 
5:     si  $y = - \vee \neg \text{occupée}(x)$  alors
6:        $n \leftarrow x$ 
7:     sinon
8:        $n \leftarrow y$ 
9:     déplacer le VÉ jusqu'au nœud  $n$ 
    
```

Méthodologie de test

- Les données réelles de la carte proviennent du projet OpenStreetMap.
- Les données des bornes (position et données historique d'occupation) proviennent du Circuit Électrique.
- Le territoire utilisé est la province du Québec :
 - 2 923 013 nœuds ;
 - 5 907 672 arcs ;
 - 1318 bornes de recharge (1178 L2 et 140 L3).
- 1000 requêtes générées :
 - Autonomie variant entre 100 et 550 km ;
 - α et ω sont choisis au hasard parmi tous les nœuds ;
 - Longueur des itinéraires entre 200 et 1500 km

Temps d'attente — Résultats

| Paramètres | | Base | | Réétiquetage | | | | Chemins alternatifs | | | |
|------------|------|------|-------|--------------|-------|-------|-------|---------------------|-------|-------|-------|
| RB | MP | A | AD | A | AD | RA | RT | A | AD | RA | RT |
| | | min | min | min | min | % | min | min | min | % | min |
| R140 | × 1 | 10.2 | 350.1 | 3.3 | 343.9 | -67.5 | -6.2 | 2.2 | 342.8 | -78.8 | -7.2 |
| R140 | × 2 | 22.7 | 362.5 | 6.0 | 347.0 | -73.6 | -15.5 | 4.1 | 345.3 | -82.0 | -17.2 |
| R140 | × 3 | 37.5 | 377.3 | 7.7 | 349.0 | -79.3 | -28.3 | 7.2 | 348.5 | -80.9 | -28.7 |
| R140 | Aléa | 51.3 | 391.2 | 10.9 | 352.6 | -78.7 | -38.5 | 9.8 | 351.6 | -80.9 | -39.5 |
| R1318 | × 1 | 19.4 | 356.0 | 2.2 | 339.2 | -88.6 | -16.7 | 1.7 | 338.7 | -91.5 | -17.3 |
| R1318 | × 2 | 37.5 | 374.0 | 4.0 | 341.2 | -89.3 | -32.8 | 3.0 | 340.3 | -92.0 | -33.7 |
| R1318 | × 3 | 50.5 | 387.1 | 6.5 | 343.9 | -87.1 | -43.1 | 4.7 | 342.3 | -90.6 | -44.8 |
| R1318 | Aléa | 62.0 | 398.6 | 6.9 | 345.3 | -88.8 | -53.3 | 6.0 | 344.4 | -90.4 | -54.2 |
| A250 | Aléa | 29.3 | 368.2 | 12.0 | 354.2 | -59.0 | -13.9 | 10.3 | 353.1 | -64.8 | -15.1 |
| A500 | Aléa | 28.9 | 363.4 | 9.4 | 346.9 | -67.6 | -16.5 | 8.3 | 346.1 | -71.2 | -17.3 |
| A1000 | Aléa | 28.7 | 362.5 | 7.4 | 343.8 | -74.2 | -18.7 | 6.5 | 343.1 | -77.3 | -19.4 |
| A2000 | Aléa | 27.1 | 359.9 | 4.9 | 340.0 | -81.9 | -19.9 | 3.8 | 339.0 | -86.0 | -20.9 |

RB : Réseau de bornes (où R = réelles et A = artificielles);
MP : Modificateur des probabilités; **A** : Temps d'attente moyen; **AD** : Temps total moyen (Attente + Déplacement);
RA : Réduction de l'attente (vs Base); **RT** : Réduction du total (vs Base).

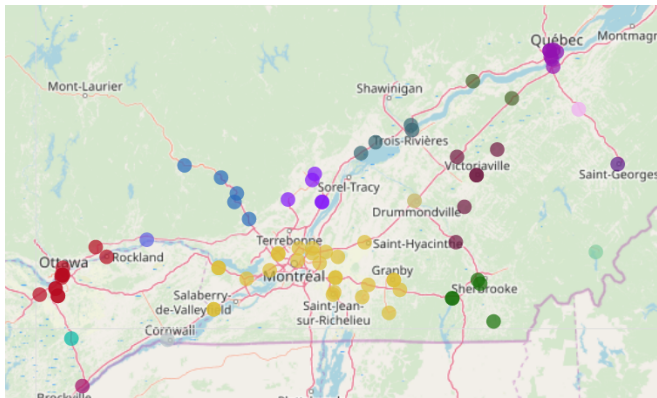


Regroupement de bornes

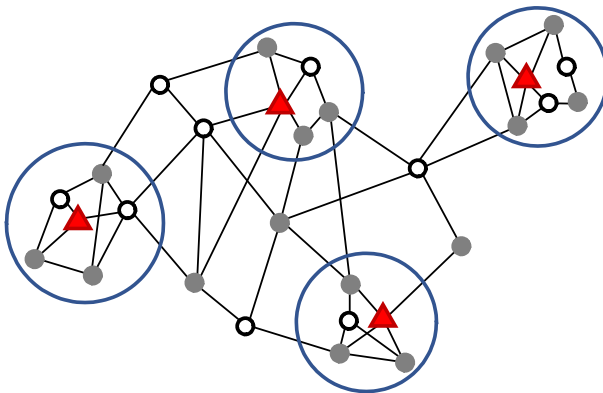
- Recharge à des bornes en milieu de trajet
- Récupération d'énergie par le véhicule (topographie, freinage, etc.)
- **Calcul rapide de l'itinéraire**
- Minimisation du temps d'attente

Regroupement de bornes — Idée

- Il y a 140 bornes rapides (L3) et 1178 bornes L2 ;
- La plupart d'entre elles sont situées dans les mêmes secteurs (grandes villes, sites touristiques, etc.) ;
- Regrouper les bornes rapprochées diminuerait grandement la taille du graphe.



Regroupement de bornes — Idée



| | |
|---|--|
| ● centre regroupement | ○ regroupement |
| ○ nœud sans borne | ● nœud avec borne |

Regroupement de bornes — Algorithme

d_{\max} : distance maximale entre une borne et le nœud central de son regroupement

Algorithme 3 Génération des regroupements de bornes de recharge

- 1: Trouver les bornes $S_1, S_2 \in S$ les plus rapprochées
 - 2: **tant que** distance $(S_1, S_2) \leq d_{\max}$ **faire**
 - 3: Trouver le nœud m à mi-chemin de S_1 et S_2
 - 4: Trouver $C = \{s \in S \mid dist(s, m) \leq d_{\max}\}$ ▷ $S_1, S_2 \in C$
 - 5: $S \leftarrow (S \setminus C) \cup \{m\}$
 - 6: Trouver les bornes $S_1, S_2 \in S$ les plus rapprochées
-

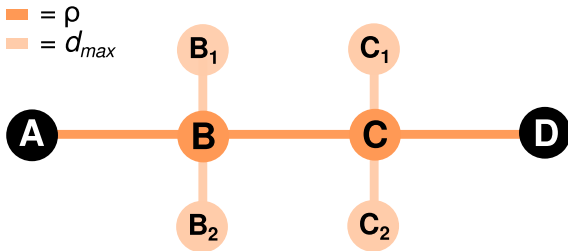
La complexité temporelle du regroupement est $\mathcal{O}(K(|S|^2 + |V|))$
 où K est le nombre de clusters générés.

Regroupement de bornes — Modification à l'autonomie

Ajustement de l'autonomie considéré

Pour que le chemin retourné par le planificateur soit réalisable, l'autonomie considérée doit être :

- $\rho' = \rho - d_{\max}$ pour le premier et dernier regroupement ;
- $\rho' = \rho - 2d_{\max}$ entre les regroupements.

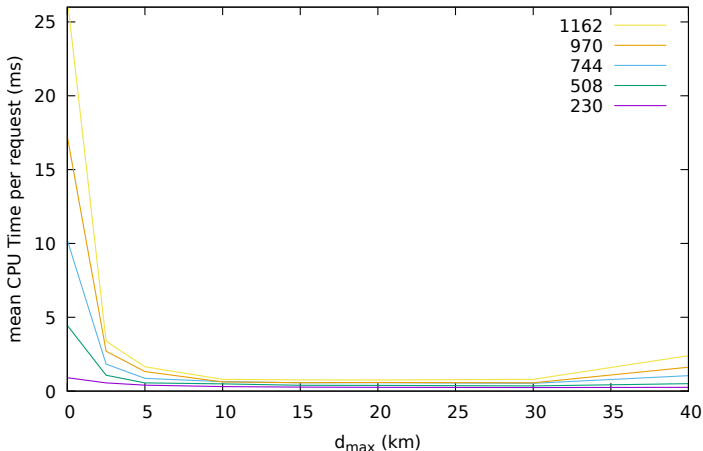


Regroupement de bornes — Résultats

| Paramètres | | Regroupements | | Version base | | Version amortie | |
|------------|------------|---------------|------|--------------|--------|-----------------|--------|
| Bornes | d_{\max} | Regroup. | JDIR | FR | CT | FR | CT |
| # | km | # | % | % | ms | % | ms |
| 1162 | 0.0 | 1162 | 0.0 | 0.0 | 26.563 | 0 | 26.563 |
| 1162 | 2.5 | 487 | 0.0 | 0.0 | 3.385 | 0 | 3.385 |
| 1162 | 5.0 | 342 | 0.2 | 0.4 | 1.541 | 0 | 1.647 |
| 1162 | 10.0 | 236 | 0.2 | 0.8 | 0.588 | 0 | 0.801 |
| 1162 | 15.0 | 188 | 0.6 | 0.9 | 0.523 | 0 | 0.762 |
| 1162 | 20.0 | 150 | 1.0 | 1.4 | 0.382 | 0 | 0.754 |
| 1162 | 30.0 | 111 | 2.3 | 2.0 | 0.265 | 0 | 0.796 |
| 1162 | 40.0 | 87 | 2.8 | 8.2 | 0.226 | 0 | 2.404 |

JDIR : Journey duration increase rate ; **FR** : Failure rate ; **CT** : Computation time

Regroupement de bornes — Résultats

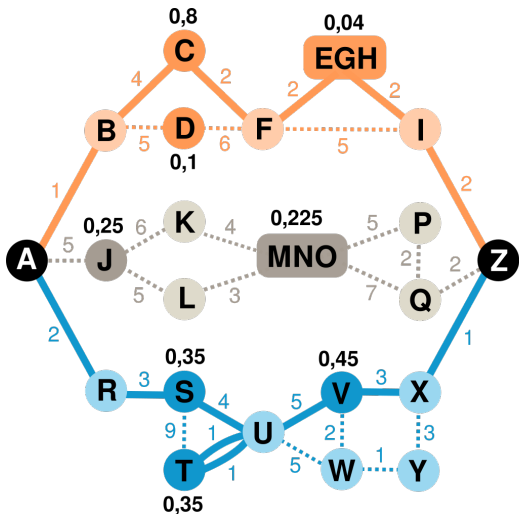


Algorithme global

Algorithme 4 Planification complète pour VÉ

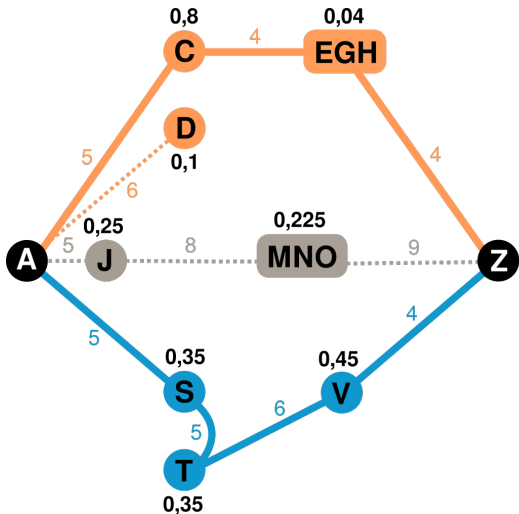
- 1: Calculer la matrice D et le chemin le plus court reliant chaque paire de bornes
 - 2: Construire le s-graphe contenant chaque borne de recharge
 - 3: **pour toute** requête (ρ, α, ω) **faire** ▷ Tant qu'il y a des requêtes à traiter
 - 4: Exécuter Dijkstra partant de α sur le graphe original
 - 5: Exécuter Dijkstra partant de ω sur le graphe transposé
 - 6: Ajouter α et ω au s-graphe et ajouter les arcs de longueur $\leq \rho$
 - 7: Exécuter l'algorithme A^* de α à ω sur le s-graphe pour trouver la suite Q
 - 8: **si** le chemin est impossible **alors** ▷ Stratégie amortie
 - 9: Exécuter A^* sur le s-graphe (sans regroupements) pour trouver Q
 - 10: Trouver la suite P à l'aide de Q en utilisant les chemins déjà calculés
 - 11: Retirer α et ω du s-graphe et réajuster les arcs
 - 12: Envoyer la solution (P, Q)
-

Exemple 2/3 : Regroupement de bornes



Range = 8
 d_{max} = 2
 α = **A**
 ω = **Z**

Exemple 3/3 : Construction du graphe simplifié



Range = 8
 d_{max} = 2
 α = **A**
 ω = **Z**

Conclusion

- Le regroupement de bornes de recharge permet de réduire d'un facteur 35 le temps de calcul ;
- Les techniques pour la considération de l'attente ont divisé par 4 le temps d'attente (17.3 minutes de moins en moyenne).

Reconnaissance



*Fonds de recherche
sur la nature
et les technologies*

Québec 

Cette recherche a été financée par le Conseil de recherches en sciences naturelles et en génie du Canada (CRSNG) et le Fonds de recherche du Québec — Nature et technologies (FRQNT).